

Starkniederschlagshöhen und -spenden gemäß KOSTRA-DWD-2020

Rasterfeld 124190

(Zeile 124, Spalte 190)

Regenspende und Bemessungsniederschlagswerte in Abhängigkeit von Wiederkehrzeit T und Dauerstufe D

| Dauerstufe D | | Wiederkehrzeit T | | | | | | | | | | | | | | | | | |
|--------------|-----|------------------|------------|------|------------|------|------------|------|------------|------|------------|-------|------------|-------|------------|-------|------------|-------|------------|
| | | 1 a | | 2 a | | 3 a | | 5 a | | 10 a | | 20 a | | 30 a | | 50 a | | 100 a | |
| min | Std | mm | l / (s ha) | mm | l / (s ha) | mm | l / (s ha) | mm | l / (s ha) | mm | l / (s ha) | mm | l / (s ha) | mm | l / (s ha) | mm | l / (s ha) | mm | l / (s ha) |
| 5 | | 7,6 | 253,3 | 9,7 | 323,3 | 10,9 | 363,3 | 12,6 | 420,0 | 15,0 | 500,0 | 17,5 | 583,3 | 19,1 | 636,7 | 21,2 | 706,7 | 24,3 | 810,0 |
| 10 | | 9,8 | 163,3 | 12,4 | 206,7 | 14,0 | 233,3 | 16,2 | 270,0 | 19,3 | 321,7 | 22,4 | 373,3 | 24,5 | 408,3 | 27,2 | 453,3 | 31,2 | 520,0 |
| 15 | | 11,1 | 123,3 | 14,0 | 155,6 | 15,9 | 176,7 | 18,3 | 203,3 | 21,8 | 242,2 | 25,4 | 282,2 | 27,7 | 307,8 | 30,8 | 342,2 | 35,2 | 391,1 |
| 20 | | 12,0 | 100,0 | 15,2 | 126,7 | 17,2 | 143,3 | 19,8 | 165,0 | 23,6 | 196,7 | 27,5 | 229,2 | 30,0 | 250,0 | 33,3 | 277,5 | 38,1 | 317,5 |
| 30 | | 13,3 | 73,9 | 16,9 | 93,9 | 19,1 | 106,1 | 22,0 | 122,2 | 26,2 | 145,6 | 30,5 | 169,4 | 33,3 | 185,0 | 37,0 | 205,6 | 42,3 | 235,0 |
| 45 | | 14,7 | 54,4 | 18,6 | 68,9 | 21,0 | 77,8 | 24,2 | 89,6 | 28,8 | 106,7 | 33,6 | 124,4 | 36,7 | 135,9 | 40,8 | 151,1 | 46,7 | 173,0 |
| 60 | 1 | 15,7 | 43,6 | 19,9 | 55,3 | 22,5 | 62,5 | 25,9 | 71,9 | 30,8 | 85,6 | 35,9 | 99,7 | 39,2 | 108,9 | 43,6 | 121,1 | 49,9 | 138,6 |
| 90 | 1,5 | 17,1 | 31,7 | 21,8 | 40,4 | 24,6 | 45,6 | 28,4 | 52,6 | 33,8 | 62,6 | 39,3 | 72,8 | 43,0 | 79,6 | 47,8 | 88,5 | 54,6 | 101,1 |
| 120 | 2 | 18,3 | 25,4 | 23,2 | 32,2 | 26,2 | 36,4 | 30,2 | 41,9 | 36,0 | 50,0 | 41,9 | 58,2 | 45,8 | 63,6 | 50,9 | 70,7 | 58,1 | 80,7 |
| 180 | 3 | 19,9 | 18,4 | 25,3 | 23,4 | 28,6 | 26,5 | 33,0 | 30,6 | 39,2 | 36,3 | 45,7 | 42,3 | 49,9 | 46,2 | 55,5 | 51,4 | 63,4 | 58,7 |
| 240 | 4 | 21,2 | 14,7 | 26,9 | 18,7 | 30,4 | 21,1 | 35,0 | 24,3 | 41,7 | 29,0 | 48,6 | 33,8 | 53,1 | 36,9 | 59,0 | 41,0 | 67,4 | 46,8 |
| 360 | 6 | 23,1 | 10,7 | 29,3 | 13,6 | 33,1 | 15,3 | 38,1 | 17,6 | 45,4 | 21,0 | 52,9 | 24,5 | 57,8 | 26,8 | 64,2 | 29,7 | 73,5 | 34,0 |
| 540 | 9 | 25,1 | 7,7 | 31,9 | 9,8 | 36,0 | 11,1 | 41,5 | 12,8 | 49,4 | 15,2 | 57,6 | 17,8 | 62,9 | 19,4 | 69,9 | 21,6 | 79,9 | 24,7 |
| 720 | 12 | 26,7 | 6,2 | 33,8 | 7,8 | 38,3 | 8,9 | 44,1 | 10,2 | 52,5 | 12,2 | 61,1 | 14,1 | 66,8 | 15,5 | 74,2 | 17,2 | 84,9 | 19,7 |
| 1080 | 18 | 29,0 | 4,5 | 36,8 | 5,7 | 41,6 | 6,4 | 48,0 | 7,4 | 57,1 | 8,8 | 66,5 | 10,3 | 72,7 | 11,2 | 80,8 | 12,5 | 92,3 | 14,2 |
| 1440 | 24 | 30,8 | 3,6 | 39,0 | 4,5 | 44,2 | 5,1 | 50,9 | 5,9 | 60,6 | 7,0 | 70,6 | 8,2 | 77,1 | 8,9 | 85,7 | 9,9 | 98,0 | 11,3 |
| 2880 | 48 | 35,5 | 2,1 | 45,1 | 2,6 | 51,0 | 3,0 | 58,7 | 3,4 | 69,9 | 4,0 | 81,5 | 4,7 | 89,0 | 5,2 | 98,9 | 5,7 | 113,1 | 6,5 |
| 4320 | 72 | 38,6 | 1,5 | 49,0 | 1,9 | 55,4 | 2,1 | 63,9 | 2,5 | 76,0 | 2,9 | 88,6 | 3,4 | 96,8 | 3,7 | 107,5 | 4,1 | 123,0 | 4,7 |
| 5760 | 96 | 41,0 | 1,2 | 52,0 | 1,5 | 58,8 | 1,7 | 67,8 | 2,0 | 80,7 | 2,3 | 94,0 | 2,7 | 102,7 | 3,0 | 114,1 | 3,3 | 130,5 | 3,8 |
| 7200 | 120 | 42,9 | 1,0 | 54,4 | 1,3 | 61,6 | 1,4 | 71,0 | 1,6 | 84,5 | 2,0 | 98,4 | 2,3 | 107,5 | 2,5 | 119,5 | 2,8 | 136,6 | 3,2 |
| 8640 | 144 | 44,6 | 0,9 | 56,5 | 1,1 | 63,9 | 1,2 | 73,7 | 1,4 | 87,7 | 1,7 | 102,2 | 2,0 | 111,7 | 2,2 | 124,1 | 2,4 | 141,9 | 2,7 |
| 10080 | 168 | 46,0 | 0,8 | 58,4 | 1,0 | 66,0 | 1,1 | 76,1 | 1,3 | 90,5 | 1,5 | 105,5 | 1,7 | 115,3 | 1,9 | 128,1 | 2,1 | 146,4 | 2,4 |

Starkniederschlagshöhen und -spenden gemäß KOSTRA-DWD-2020

Rasterfeld 124190

(Zeile 124, Spalte 190)

Örtliche Unsicherheiten in Abhängigkeit von Wiederkehrzeit T und Dauerstufe D

| Dauerstufe D | | Wiederkehrzeit T | | | | | | | | |
|--------------|-----|------------------|-----|-----|-----|------|------|------|------|-------|
| | | 1 a | 2 a | 3 a | 5 a | 10 a | 20 a | 30 a | 50 a | 100 a |
| min | Std | ± % | ± % | ± % | ± % | ± % | ± % | ± % | ± % | ± % |
| 5 | | 13 | 12 | 12 | 12 | 13 | 13 | 13 | 13 | 14 |
| 10 | | 12 | 13 | 14 | 15 | 16 | 17 | 18 | 18 | 19 |
| 15 | | 14 | 16 | 17 | 18 | 19 | 20 | 21 | 21 | 22 |
| 20 | | 15 | 17 | 18 | 20 | 21 | 22 | 22 | 23 | 24 |
| 30 | | 17 | 19 | 20 | 22 | 23 | 24 | 24 | 25 | 25 |
| 45 | | 18 | 20 | 21 | 23 | 24 | 25 | 25 | 26 | 27 |
| 60 | 1 | 18 | 21 | 22 | 23 | 24 | 25 | 26 | 26 | 27 |
| 90 | 1,5 | 18 | 21 | 22 | 23 | 24 | 25 | 26 | 26 | 27 |
| 120 | 2 | 18 | 20 | 22 | 23 | 24 | 25 | 26 | 26 | 27 |
| 180 | 3 | 17 | 20 | 21 | 22 | 23 | 24 | 25 | 26 | 26 |
| 240 | 4 | 17 | 19 | 21 | 22 | 23 | 24 | 24 | 25 | 26 |
| 360 | 6 | 16 | 19 | 20 | 21 | 22 | 23 | 24 | 24 | 25 |
| 540 | 9 | 16 | 18 | 19 | 20 | 21 | 22 | 23 | 23 | 24 |
| 720 | 12 | 16 | 18 | 19 | 20 | 21 | 22 | 22 | 23 | 23 |
| 1080 | 18 | 15 | 17 | 18 | 19 | 20 | 21 | 22 | 22 | 23 |
| 1440 | 24 | 15 | 17 | 18 | 19 | 20 | 21 | 21 | 22 | 22 |
| 2880 | 48 | 16 | 17 | 18 | 18 | 19 | 20 | 21 | 21 | 22 |
| 4320 | 72 | 16 | 17 | 18 | 19 | 19 | 20 | 20 | 21 | 21 |
| 5760 | 96 | 17 | 18 | 18 | 19 | 19 | 20 | 20 | 21 | 21 |
| 7200 | 120 | 18 | 18 | 19 | 19 | 20 | 20 | 20 | 21 | 21 |
| 8640 | 144 | 18 | 19 | 19 | 19 | 20 | 20 | 21 | 21 | 21 |
| 10080 | 168 | 19 | 19 | 19 | 20 | 20 | 21 | 21 | 21 | 21 |

Parameter für abweichende T und D

Lokationsparameter ξ (Xi)

16,01890407

Skalenparameter α (Alpha)

5,9832012

Formparameter κ (Kappa)

-0,1

1. Koutsoyiannis-Parameter θ (Theta)

0,02794141

2. Koutsoyiannis-Parameter η (Eta)

0,79398472

Parameter für dauerstufenübergreifende Extremwertschätzung nach KOUTSOYIANNIS et al. 1998.

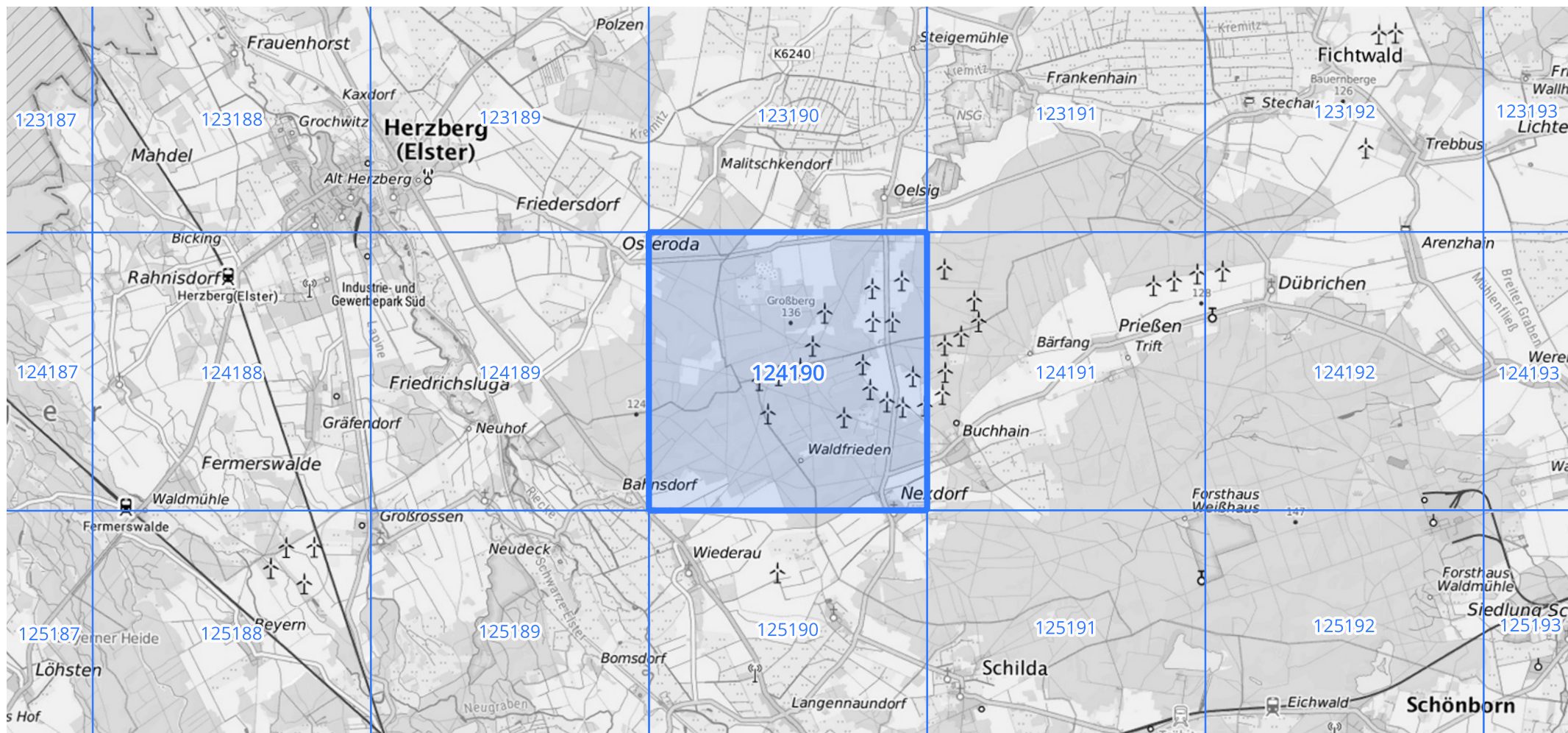
Siehe auch Anwendungshilfe zu KOSTRA-DWD-2020 des Deutschen Wetterdienstes.

Starkniederschlagshöhen und -spenden gemäß KOSTRA-DWD-2020

Rasterfeld 124190

(Zeile 124, Spalte 190)

Übersichtskarte des Rasterfeldes 124190, M 1 : 100 000



Quelle Rasterdaten: KOSTRA-DWD-2020 des Deutschen Wetterdienstes, Stand 12/2022.

Seite 3 von 3

Kartendarstellung: © Bundesamt für Kartographie und Geodäsie (2023), Datenquellen: https://sgx.geodatenzentrum.de/web_public/gdz/datenquellen/Datenquellen_TopPlusOpen.html

Für die Richtigkeit und Aktualität der Angaben wird keine Gewähr übernommen. Erstellt 01/2023.